

I-125 吊橋断面の2自由度フラッタ解析

九州大学応用力学研究所 正員 中村泰治、渡辺公彦

1. はしがき

著者は、さきにエネルギー流入形式の差異による構造物の2自由度フラッタの分類を提案した。¹⁾ そこでは、2自由度フラッタにおける一般論が展開された後、とくに2自由度フラッタについて、系の対数収散率が系への流入エネルギー比例するという仮定に基づき、実験的分類が提案された。上記仮定の正しさは直觀的に明らかであるが、今回、実験的分類は対応する解析の実現が得られることで証明し、あわせてその実験的検証²⁾を示す。

2. 動方程式

吊橋断面の2自由度線形化運動方程式を、構造減衰を省略したかうば、

$$m\ddot{\eta} + m(2\pi f_y)^2 \eta = \frac{1}{2} \bar{V}^2 (2b) \{ C_L[\eta] + C_L[\theta] \} \quad (1)$$

$$I\ddot{\theta} + I(2\pi f_\theta)^2 \theta = \frac{1}{2} \bar{V}^2 (2b)^2 \{ C_M[\eta] + C_M[\theta] \} \quad (2)$$

すべての量を無次元化すれば

$$\eta'' + R^2 \alpha^2 \eta = \frac{\bar{V}^2}{4\pi^2 \mu} \{ C_L[\eta] + C_L[\theta] \} \quad (3)$$

$$\theta'' + \alpha^2 \theta = \frac{\bar{V}^2}{2\pi^2 \nu} \{ C_M[\eta] + C_M[\theta] \} \quad (4)$$

ここで、 $T = 2\pi f_t$; $\eta(t) = \eta(\theta)/b$; $\mu = m/b^2$; $\nu = I/b^3$; $R = f_y/f_\theta$; $\alpha = f_\theta/f$; $\bar{V} = V_{fb}$; $b = \text{半弦長}$ 。解を

$$\eta(T) = \eta_0 \exp\left[\left(\frac{\beta}{2\pi} + i\right)T\right] \quad (5)$$

$$\theta(T) = \theta_0 \exp\left[\left(\frac{\beta}{2\pi} + i\right)T + i\phi\right] \quad (6)$$

$$\frac{\eta_0}{\theta_0} = X \quad (7)$$

と仮定し、また、空力係数は周波数応答で代用する。ここで、 $\beta = \text{対数収散率}$; $\phi = \text{位相差}$; $|\phi| \ll 1$ のとき、 $X = \text{見かけの軸位置}$ 。この時、運動方程式より

$$\left(\frac{\beta^2}{4\pi^2} - 1 + R^2 \alpha^2\right) X = \frac{\bar{V}^2}{4\pi^2 \mu} (C_{M\theta} X + C_{\theta\theta} \cos\phi - C_{\theta\theta} \sin\phi) \quad (8)$$

$$\frac{\beta^2}{4\pi^2} - 1 + \alpha^2 = \frac{\bar{V}^2}{2\pi^2 \nu} \{ (C_{M\theta} \cos\phi + C_{\theta\theta} \sin\phi) X + C_{M\theta} \} \quad (9)$$

$$\beta X = \frac{\bar{V}^2}{4\pi \mu} (C_{\theta\theta} X + C_{\theta\theta} \sin\phi + C_{\theta\theta} \cos\phi) \quad (10)$$

$$\beta = \frac{1}{2\pi \nu} \{ (-C_{M\theta} \sin\phi + C_{M\theta} \cos\phi) X + C_{M\theta} \} \quad (11)$$

以下のように対応する仮定をあき、(8)～

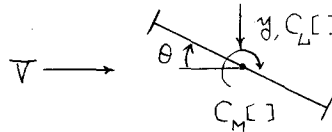


図 1

(1) 対応する

3. 空力係数と解に因る仮定

$$|C_{\theta\theta}| \ll |C_{M\theta}| \quad (12)$$

左、右、上、下は、angle of attack 運動と angular velocity 運動に卓越する。³⁾ すると、

$$(C_{\theta\theta} R + i C_{\theta\theta}) \eta \approx (C_{M\theta} R + i C_{M\theta}) \frac{2\pi}{\bar{V}} \eta' \quad (13)$$

$$(C_{M\theta} R + i C_{M\theta}) \eta \approx (C_{M\theta} R + i C_{M\theta}) \frac{2\pi}{\bar{V}} \eta' \quad (14)$$

これは角位相を(1)と

$$|\phi| \ll 1, |\chi| \ll 1, |\beta| \ll 1 \quad (15)$$

4. 有用な諸式

§3を参照して簡略化を実行すれば、振動数比、軸位相、空力係数、位相差を逐次与えて式が得られる。

$$\alpha^2 = 1 + \frac{\bar{V}^2}{2\pi^2 \nu} C_{M\theta} \quad (16)$$

$$\chi = \frac{\bar{V}^2 C_{M\theta}}{4\pi^2 \mu (-1 + R^2 \alpha^2)} = \frac{\bar{V}^3 C_{\theta\theta}}{8\pi^3 \mu (-1 + R^2 \alpha^2)} \quad (17)$$

$$\beta = \frac{\bar{V}^2}{2\pi \nu} (C_{M\theta} + C_{\theta\theta} \chi) = \frac{\bar{V}^2}{2\pi \nu} (C_{M\theta} + \frac{2\pi}{\bar{V}} C_{M\theta} \chi) \quad (18)$$

$$\beta \chi = \frac{\bar{V}^2}{4\pi \mu} (C_{\theta\theta} \chi + C_{\theta\theta} + C_{M\theta} \sin\phi) \quad (19)$$

5. 注意すべき諸特徴

吊橋断面のように平板状構造物では、つきの特性がある。まず、 $C_{M\theta} > 0$ であれば、(16)より $\alpha > 1$ 。ただし、 $R < 1$, $C_{M\theta} < 0$ であれば、(17)より $\chi > 0$ 。すなはち、風速の増大と共に

モニ振動数は次第に低下し、見掛けの軸位置は上流側に移動する。さらには、(18)をXとみた(17)を加えると、つまづき表現が得られる。

$$\beta = \beta_1 + \beta_2$$

$$\beta_1 = \frac{\bar{V}^2 C_{M0I}}{2\pi(\nu + \mu X^2)}$$

$$\beta_2 = \frac{\bar{V}^2 C_{L0I} \sin \phi}{2\pi(\nu + \mu X^2)} \times \frac{X}{2}$$

したがし、

$$C'_{M0I} = C_{M0I} + C_{M0I} X + (C_{L0I} + C_{LyI} X) \frac{X}{2} \quad (23)$$

簡単な計算の結果、 $-C'_{M0I}$ は X と共に比例する。自由度振動の空力的 pitch damping を表すことはわかる。また、 $\nu + \mu X^2$ は、X と共に reduced mass moment of inertia (= 0 からなり) よって、 β_1 は軸位置 X に固定した極り / 自由度振動の柔軟率を示す。一方、 β_2 は位相差中の sin に比例し、狭い意味で構成作用による柔軟率である。よって、

(1) $\beta_2 \gg \beta_1$ のときは classical 型フラッタ

(2) $\beta_1 \gg \beta_2$ のときは 1 自由度型フラッタ

(3) $\beta_1 \approx \beta_2$ のときは 中間型フラッタ

これら3分類が可能である。これは正しく成り立つ。提案した方法にはかならず、実用上は位相差を知るとは必ずしも必要でなく、振動数比、軸位置、柔軟率を知ればよい。したがって、(16)～(18)の3式を充分であり、二つは必ず空力はみ、 C_{M0I} , C_{L0I} , C_{LyI} が 3つとなる。これらは自由度振動法はより簡単に求められる。なお、これら3式において、とくに位相差近似した Theodorsen 理論を適用し ($C(k) = F(k) + G(k)$ における $F(k)$ は $\frac{1}{2}$, $G(k) = 0$)、 $\beta = 0$ に対する フラッタ限界周速 \bar{V}_F を求めるとき、

$$\bar{V}_F = \sqrt{\frac{2\pi(1-R^2)}{\frac{1}{\mu} + \frac{1}{4\nu}}} \quad (24)$$

ここで、算術平均 $\frac{1}{\mu} + \frac{1}{4\nu}$ と幾何平均 $\frac{1}{\sqrt{\mu\nu}}$ は置換式とよぶ。

$$\bar{V}_F = \sqrt{4\pi(1-R^2)\sqrt{\mu\nu}} \quad (25)$$

となる。常数 $\sqrt{4\pi} = 3.54 \dots \approx 3.70$ で置換式とみなすよく知られた Selberg の経験式と一致する = これが「準則式」。

6 実験的検証

式(16)～(18)の有用性を確認するには平板と板高 9% の H型断面(例 E 図 2, 図 3 に示す)を用い、 $\mu = 150$, $\nu = 100$, $R = 0.5$ である。同一模型を用い自由度振動法によること3つの空力係数を求めて、式(16)～(18)により軸位置および柔軟率を理論的に推定し、太い実線で示す。理論と実験、一致の間にあればよいにきゆう式である。したがし、実験における構造減衰が約 0.03 であるため、 β の理論値は少しひずむ。典型的 classical 型および拡張自由度フラッタを示す。そのうちわれわれは最も今回、公式を適用すべき = これが目玉山式。

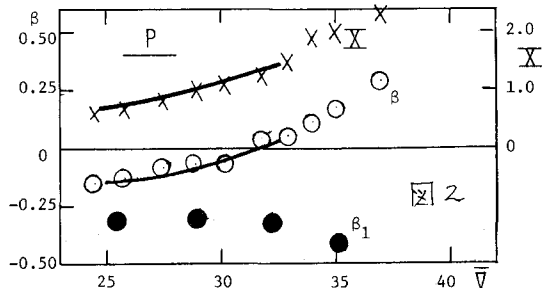


図 2

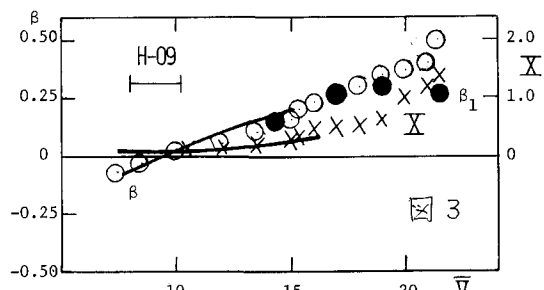


図 3

7 結論

式(16)～(18)は平板から吊橋断面を含む広範囲の bluff body と自由度フラッタに適用され得るといがれども、したがって、これらは吊橋耐風設計における有用性を指針となるべきである。なお、式(18)は文献(4)で得られたものと類似するといふ記す。

文献 (1) 中村, 吉村, J. EMD, ASCE, 1976, (2) 中村 AHDS 資料, 1977, 4月, (3) 中村, 未刊, (4) 板田, 渡辺,

AHDS 資料, 1976, 7月。